

Entropia de emaranhamento de duas partículas carregadas e sem spin em uma armadilha de Penning

Entanglement entropy of two spinless charged particles in a Penning trap

J. P. G. Nascimento^{*1}, V. Aguiar¹, I. Guedes¹

¹Universidade Federal do Ceará, Departamento de Física, Campus do PICI, Caixa Postal 6030, 60455-760, Fortaleza, CE, Brasil.

Recebido em 31 de março de 2021. Revisado em 2 de julho de 2021. Aceito em 6 de julho de 2021.

Investigamos o emaranhamento para o estado fundamental de duas partículas sem spin, carregadas e harmonicamente acopladas em uma armadilha de Penning. Encontramos uma expressão analítica para a entropia linear, L , e analisamos o grau de emaranhamento em função da variação da constante de acoplamento e dos parâmetros da armadilha de Penning. Os resultados mostram uma competição entre o acoplamento das partículas e os parâmetros da armadilha. Relacionamos os resultados com a incerteza na posição das partículas.

Palavras-chave: Emaranhamento, Entropia Linear, Armadilha de Penning.

We investigate the entanglement-related features of the ground state of two spinless charged particles harmonically coupled in a Penning trap. We find an analytical expression for the linear entropy, L , and analyze the entanglement properties of the ground state as the trap parameters and coupling constant changes. The results show a competition between the coupling constant and trap parameters and can also be related to the uncertainty in the position of the particles.

Keywords: Entanglement, Linear Entropy, Penning Trap.

1. Introdução

Recentemente, Pham, Bharadway e Ram-Mohan [1] estudaram o emaranhamento espacial em pontos quânticos interagentes. De acordo com os autores, existem certas semelhanças entre as propriedades eletrônicas de um único ponto quântico e um átomo hidrogenóide. Dessa forma, quando dois ou mais pontos quânticos estão muito próximos uns aos outros, o sistema formado pode ser entendido como uma molécula de pontos quânticos ligados por ligações covalentes. A possibilidade de modificar a interação entre os elétrons dos pontos quânticos, modificando a distância de separação e/ou mediante à aplicação de campos externos, faz com que suas propriedades eletrônicas possam ser bem controladas. Essas estruturas, onde os elétrons estão geometricamente confinados, são fortes candidatas a serem utilizadas como dispositivos em computação quântica. Para calcular o emaranhamento espacial de dois elétrons em pontos quânticos duplos em função de alguns parâmetros, os autores consideraram uma interação coulombiana entre os elétrons, utilizaram a formulação variacional para obter as funções de onda e utilizaram a expressão da entropia linear, que é reconhecida como um bom indicador para determinar o emaranhamento em sistemas de duas ou mais partículas.

Existem alguns trabalhos sobre a determinação do emaranhamento espacial de duas ou mais partículas em diferentes sistemas que são modelados pelo chamado átomo de Moshinsky [2]. Este modelo é formado basicamente por duas partículas que interagem harmonicamente e encontram-se mutuamente confinadas em um potencial externo harmônico isotrópico. Por exemplo, em 2009 Pipek e Nagy [3] calcularam a entropia de emaranhamento para dois elétrons interagentes no estado fundamental. Em 2010, Yañez, Plastino e Dehesa [4] calcularam o emaranhamento espacial também para o primeiro e segundo estados excitados do sistema de dois elétrons interagentes. Em 2012, Bouvrie et al. [5] calcularam o emaranhamento espacial para o átomo de Moshinsky com três elétrons e para o de dois elétrons em um campo magnético uniforme. Em 2014, Bouvrie et al. [6] também calcularam o emaranhamento espacial para um sistema unidimensional de muitos corpos formado por átomos de Moshinsky. Em 2019, Christov [7] estudou o emaranhamento espacial em um átomo de Moshinsky interagindo com potencial dependente do tempo.

Existem ainda outros trabalhos sobre o cálculo do emaranhamento espacial de duas ou mais partículas submetidas a diferentes tipos de potencial como os discutidos nas Refs. [8–13]. Nestes trabalhos, a Hamiltoniana é basicamente a utilizada no estudo do átomo de Hélio, com os elétrons interagindo entre si através de potenciais tipo Coulomb, Yukawa ou de contato (função delta).

* Endereço de correspondência: joaopedro@fisica.ufc.br

Outros trabalhos muito interessantes sobre o conceito de emaranhamento em um nível bastante acessível podem ser encontrados nas Refs. [14–16].

Neste trabalho calcularemos a entropia linear de emaranhamento de duas partículas carregadas, sem spin, interagindo harmonicamente e confinadas em uma armadilha de Penning. Esta armadilha [17, 18] foi projetada para confinar partículas carregadas e íons em um pequeno volume para fornecer uma maneira adequada de realizar medições de espectrometria de massa de alta resolução. A armadilha de Penning hiperbólica ideal consiste em uma partícula de massa m e carga q movendo-se em uma superposição de um campo magnético homogêneo e um campo eletrostático derivado de um potencial cujas superfícies equipotenciais são hiperbolóides de revolução.

Na próxima seção encontraremos as funções de onda para o problema e obteremos uma expressão analítica para a entropia linear de emaranhamento no estado fundamental. Devido ao formalismo utilizado, aos cálculos apresentados, e às análises referentes ao emaranhamento do sistema e suas correlações com o conceito de localização de partículas, este trabalho pode ser bastante útil para estudantes de graduação. Na Seção 3 apresentamos e discutimos os resultados obtidos, e, por fim, na Seção 4 apresentamos as conclusões deste trabalho.

2. Funções de Onda e Entropia Linear de Emaranhamento

Em Teoria de Informação Quântica, a medida do emaranhamento quântico de um sistema bipartite é usualmente feita através da entropia de von Neumann ou da entropia linear, que é obtida considerando apenas o primeiro termo da expansão da entropia de von Neumann [19].

Para um sistema composto por duas partículas, (1) e (2), a entropia linear é definida como

$$L = 1 - \int \int |\rho_{red}(\mathbf{r}_1, \mathbf{r}'_1)|^2 d\mathbf{r}_1 d\mathbf{r}'_1, \quad (1)$$

onde

$$\rho_{red}(\mathbf{r}_1, \mathbf{r}'_1) = \int \Psi(\mathbf{r}_1, \mathbf{r}_2) \Psi^*(\mathbf{r}'_1, \mathbf{r}_2) d\mathbf{r}_2, \quad (2)$$

é o operador densidade reduzido da partícula (1), e $\Psi(\mathbf{r}_1, \mathbf{r}_2)$ satisfaz a equação de Schrödinger independente do tempo

$$H(\mathbf{p}_1, \mathbf{r}_1, \mathbf{p}_2, \mathbf{r}_2) \Psi(\mathbf{r}_1, \mathbf{r}_2) = E \Psi(\mathbf{r}_1, \mathbf{r}_2). \quad (3)$$

Note que os valores da entropia linear estão compreendidos no intervalo $0 \leq L \leq 1$, onde $L = 0$ indica que os estados são não-emaranhados e $L = 1$ que temos o máximo emaranhamento entre os estados.

A Hamiltoniana para duas partículas carregadas e sem spin em uma armadilha de Penning é dada por:

$$H(\mathbf{p}_1, \mathbf{r}_1, \mathbf{p}_2, \mathbf{r}_2) = \frac{1}{2M}(\boldsymbol{\pi}_1^2 + \boldsymbol{\pi}_2^2) + U_{int}(\mathbf{r}_1, \mathbf{r}_2) + q\Phi_{quad}(\mathbf{r}_1, \mathbf{r}_2), \quad (4)$$

onde $\mathbf{r}_j = (x_j, y_j, z_j)$ é o autovalor do operador posição da j -ésima partícula, $\boldsymbol{\pi}_j = \mathbf{p}_j - q\mathbf{A}(\mathbf{r}_j)$, $\mathbf{p}_j = -i\hbar\nabla_j$, q e M são a carga e massa das partículas respectivamente, $\mathbf{A}(\mathbf{r})$ é o potencial vetor magnético, $U_{int}(\mathbf{r}_1, \mathbf{r}_2)$ é o potencial de interação entre as partículas e $\Phi_{quad}(\mathbf{r}_1, \mathbf{r}_2)$ é o potencial elétrico quadrupolar. Na região de aprisionamento, $\Phi_{quad}(\mathbf{r}_1, \mathbf{r}_2)$ é dado por:

$$\Phi_{quad}(\mathbf{r}_1, \mathbf{r}_2) = \frac{V_0}{2d^2} \left[z_1^2 - \frac{(x_1^2 + y_1^2)}{2} \right] + \frac{V_0}{2d^2} \left[z_2^2 - \frac{(x_2^2 + y_2^2)}{2} \right], \quad (5)$$

onde V_0 é a voltagem aplicada e d é uma constante.

Escolhendo a transformação de gauge $\mathbf{A} = -(1/2)\mathbf{r} \times \mathbf{B}$, onde $\mathbf{B} = B_0\mathbf{k}$, e considerando que a interação entre as partículas seja harmônica, $U_{int}(\mathbf{r}_1, \mathbf{r}_2) = -(1/2)k|\mathbf{r}_1 - \mathbf{r}_2|^2$, onde k é a constante de acoplamento, a Eq. (4) toma a forma:

$$H(\mathbf{p}_1, \mathbf{r}_1, \mathbf{p}_2, \mathbf{r}_2) = \sum_{j=1}^2 \left[\frac{\mathbf{p}_j^2}{2M} + \frac{M\omega^2}{2} (x_j^2 + y_j^2) + \frac{M\omega_z^2}{2} z_j^2 - \frac{\omega_c}{2} L_{z_j} \right] - \frac{k}{2} |\mathbf{r}_1 - \mathbf{r}_2|^2, \quad (6)$$

onde $\omega_z^2 = \frac{qV_0}{Md^2}$, $\omega_c = \frac{qB_0}{M}$ é a frequência de Larmor, $L_{z_j} = -i\hbar(x_j \frac{\partial}{\partial y_j} - y_j \frac{\partial}{\partial x_j})$ é a componente z do momento angular e ω é a frequência de modulação dada por $\omega^2 = \frac{\omega_c^2 - 2\omega_z^2}{4}$. Note que para $k > 0$ ($k < 0$), $U_{int}(\mathbf{r}_1, \mathbf{r}_2)$ descreve interações repulsivas (atrativas).

Podemos escrever a Eq. (6) como a soma de duas Hamiltonianas desacopladas se considerarmos as coordenadas relativa e do centro de massa, expressas por:

$$\mathbf{R} = (X, Y, Z) = \frac{\mathbf{r}_1 + \mathbf{r}_2}{\sqrt{2}}, \quad (7)$$

$$\mathbf{r} = (x, y, z) = \frac{\mathbf{r}_1 - \mathbf{r}_2}{\sqrt{2}}. \quad (8)$$

Assim, utilizando as Eqs. (7) e (8) podemos escrever

$$H(\mathbf{p}_R, \mathbf{R}, \mathbf{p}_r, \mathbf{r}) = H_R(\mathbf{p}_R, \mathbf{R}) + H_r(\mathbf{p}_r, \mathbf{r}), \quad (9)$$

onde

$$H_R(\mathbf{p}_R, \mathbf{R}) = \frac{\mathbf{p}_R^2}{2M} + \frac{M\omega_R^2}{2}(X^2 + Y^2) + \frac{M\omega_{R,z}^2}{2}Z^2 - \frac{\omega_c}{2}L_{R,z}, \quad (10)$$

$$H_r(\mathbf{p}_r, \mathbf{r}) = \frac{\mathbf{p}_r^2}{2M} + \frac{M\omega_r^2}{2}(x^2 + y^2) + \frac{M\omega_{r,z}^2}{2}z^2 - \frac{\omega_c}{2}L_{r,z}, \quad (11)$$

com $\mathbf{p}_R = (p_X, p_Y, p_Z) = -i\hbar(\partial/\partial X, \partial/\partial Y, \partial/\partial Z)$, $\mathbf{p}_r = (p_x, p_y, p_z) = -i\hbar(\partial/\partial x, \partial/\partial y, \partial/\partial z)$, $L_{R,z} = -i\hbar(X\frac{\partial}{\partial Y} - Y\frac{\partial}{\partial X})$, $L_{r,z} = -i\hbar(x\frac{\partial}{\partial y} - y\frac{\partial}{\partial x})$, e

$$\omega_R^2 = \frac{q^2 B_0^2}{4M^2} - \frac{qV_0}{2Md^2}, \quad (12)$$

$$\omega_{R,z}^2 = \frac{qV_0}{Md^2}, \quad (13)$$

$$\omega_r^2 = \omega_R^2 - \frac{2k}{M}, \quad (14)$$

$$\omega_{r,z}^2 = \omega_{R,z}^2 - \frac{2k}{M}. \quad (15)$$

Para que o aprisionamento ocorra, todas as frequências ω_R^2 , $\omega_{R,z}^2$, ω_r^2 and $\omega_{r,z}^2$ devem ser maiores que zero. Das Eqs. (10) e (11), vemos que $H_R(\mathbf{p}_R, \mathbf{R})$ and $H_r(\mathbf{p}_r, \mathbf{r})$ possuem a mesma estrutura matemática. Desta maneira, precisamos resolver a equação de Schrödinger independente do tempo somente para uma das Hamiltonianas.

Considere a equação de Schrödinger para a Hamiltoniana $H_R(\mathbf{p}_R, \mathbf{R})$,

$$H_R(\mathbf{p}_R, \mathbf{R})\psi_{n_R m_R l_R}^R(\mathbf{R}) = E_{n_R m_R l_R}^R \psi_{n_R m_R l_R}^R(\mathbf{R}). \quad (16)$$

Utilizando coordenadas cilíndricas, ou seja, $X = \rho \cos\phi$, $Y = \rho \sin\phi$ e $Z = Z$, podemos reescrever a Eq. (16) como

$$\begin{aligned} & \left[-\frac{\hbar^2}{2M} \left(\frac{\partial^2}{\partial \rho^2} + \frac{1}{\rho} \frac{\partial}{\partial \rho} + \frac{1}{\rho^2} \frac{\partial^2}{\partial \phi^2} \right) \right. \\ & \left. + \frac{M\omega_R^2}{2} \rho^2 - \frac{\omega_c}{2} \left(\frac{\hbar}{i} \frac{\partial}{\partial \phi} \right) \right] \psi_{n_R m_R l_R}^R(\rho, \phi, Z) \\ & + \left[-\frac{\hbar^2}{2M} \frac{\partial^2}{\partial z^2} + \frac{M\omega_{R,z}^2}{2} Z^2 \right] \psi_{n_R m_R l_R}^R(\rho, \phi, Z) \\ & = E_{n_R m_R k_R}^R \psi_{n_R m_R l_R}^R(\rho, \phi, Z). \end{aligned} \quad (17)$$

Considerando $\psi_{n_R m_R l_R}^R(\rho, \phi, Z) = \Phi(\rho, \phi)\Upsilon(Z)$, chegamos às seguintes equações diferenciais:

$$\begin{aligned} & \left[-\frac{\hbar^2}{2M} \left(\frac{\partial^2}{\partial \rho^2} + \frac{1}{\rho} \frac{\partial}{\partial \rho} + \frac{1}{\rho^2} \frac{\partial^2}{\partial \phi^2} \right) \right. \\ & \left. + \frac{M\omega_R^2}{2} \rho^2 - \frac{\omega_c}{2} \left(\frac{\hbar}{i} \frac{\partial}{\partial \phi} \right) \right] \Phi = E_{n_R m_R}^{R, \rho, \phi} \Phi(\rho, \phi), \end{aligned} \quad (18)$$

$$\left[-\frac{\hbar^2}{2M} \frac{\partial^2}{\partial z^2} + \frac{M\omega_{R,z}^2}{2} Z^2 \right] \Upsilon(Z) = E_{l_R}^{R, Z} \Upsilon(Z), \quad (19)$$

onde

$$E_{n_R m_R l_R}^R = E_{n_R m_R}^{R, \rho, \phi} + E_{l_R}^{R, Z}. \quad (20)$$

A Eq. (19) nos diz que o movimento ao longo da direção Z é descrito por um oscilador harmônico simples. Logo, as soluções para $\Upsilon_{l_R}(Z)$ são dadas por:

$$\begin{aligned} \Upsilon_{l_R}(Z) &= \left(\frac{1}{2^{l_R} l_R!} \right)^{\frac{1}{2}} \left(\frac{M\omega_{R,z}}{\pi\hbar} \right)^{1/4} \\ &\times \exp \left[-\frac{M\omega_{R,z}}{\hbar} \frac{Z^2}{2} \right] H_{l_R} \left(\sqrt{\frac{M\omega_{R,z}}{\hbar}} Z \right), \end{aligned} \quad (21)$$

$$E_{l_R}^{R, Z} = \hbar\omega_{R,z} \left(l_R + \frac{1}{2} \right), \quad (22)$$

onde H_{l_R} são os polinômios de Hermite, com $l_R \in \mathbb{N}$.

Agora, considerando $\Phi(\rho, \phi) = v(\rho)e^{im_R\phi}$, com $m_R \in \mathbb{Z}$, reescrevemos a Eq. (18) na forma:

$$\left[\frac{d^2 v(\rho)}{d\rho^2} + \frac{1}{\rho} \frac{dv(\rho)}{d\rho} - \frac{m_R^2}{\rho^2} v(\rho) \right] + [\beta^2 - \lambda^2 \rho^2] v(\rho) = 0, \quad (23)$$

onde

$$\beta^2 = \frac{2M}{\hbar^2} \left(E_{n_R m_R}^{R, \rho, \phi} + \frac{\omega_c}{2} \hbar m_R \right), \quad (24)$$

e

$$\lambda = \frac{M\omega_R}{\hbar}. \quad (25)$$

As soluções da Eq. (23) são expressas por:

$$v(\rho) = \rho^{|m_R|} e^{-\frac{\lambda \rho^2}{2}} L_{n_R}^{|m_R|}(\lambda \rho^2), \quad (26)$$

com

$$n_R = \frac{\beta^2}{4\lambda} - \frac{|m_R|}{2} - \frac{1}{2}, \quad (27)$$

onde $L_{n_R}^{|m_R|}$ são os polinômios associados de Laguerre, com $n_R \in \mathbb{N}$.

Assim das Eqs. (21), (22) e (24)–(27), temos que as funções de onda normalizadas e as energias da Hamiltoniana $H_R(\mathbf{p}_R, \mathbf{R})$ são dadas, respectivamente, por

$$\begin{aligned} \psi_{n_R m_R l_R}^R(\mathbf{R}) &= \left(\frac{\sqrt{M\omega_{R,z}}}{\sqrt{\pi\hbar} l_R! 2^{l_R}} \right)^{1/2} \\ &\times \left[\frac{\Gamma(n_R + 1)}{\Gamma(n_R + |m_R| + 1)} \frac{1}{\pi} \right]^{1/2} \\ &\times \left(\frac{M\omega_R}{\hbar} \right)^{\frac{|m_R|+1}{2}} (X^2 + Y^2)^{\frac{|m_R|}{2}} \\ &\times \exp \left[-\frac{M\omega_R}{2\hbar} (X^2 + Y^2) - \frac{M\omega_{R,z}}{2\hbar} Z^2 \right] \\ &\times e^{im_R\phi} L_{n_R}^{|m_R|} \left[\frac{M\omega_R}{\hbar} (X^2 + Y^2) \right] \\ &\times H_{l_R} \left[\left(\frac{M\omega_{R,z}}{\hbar} \right)^{1/2} Z \right], \end{aligned} \tag{28}$$

$$\begin{aligned} E_{n_R m_R l_R}^R &= \hbar\omega_R(2n_R + |m_R| + 1) - \frac{\hbar\omega_c}{2} m_R \\ &+ \hbar\omega_{R,z} \left(l_R + \frac{1}{2} \right). \end{aligned} \tag{29}$$

Seguindo o mesmo procedimento, podemos obter as funções de onda ($\psi_{n_r m_r l_r}^r(\mathbf{r})$) e as energias ($E_{n_r m_r l_r}^r$) da Hamiltoniana $H_r(\mathbf{p}_r, \mathbf{r})$. Assim, em termos das coordenadas originais $\mathbf{r}_1 = (x_1, y_1, z_1)$ e $\mathbf{r}_2 = (x_2, y_2, z_2)$, e das Eqs. (7), (8), (28) e (29), temos que as funções de onda normalizadas e as energias da Hamiltoniana (6) são dadas, respectivamente, por

$$\Psi_{\mathbf{n}, \mathbf{m}, \mathbf{l}}(\mathbf{r}_1, \mathbf{r}_2, t) = \psi_{n_R, m_R, l_R}^R(\mathbf{r}_1, \mathbf{r}_2) \psi_{n_r, m_r, l_r}^r(\mathbf{r}_1, \mathbf{r}_2, t), \tag{30}$$

$$E_{\mathbf{n}\mathbf{m}\mathbf{l}} = E_{n_R m_R l_R}^R + E_{n_r m_r l_r}^r, \tag{31}$$

com

$$\begin{aligned} \psi_{n_j, m_j, l_j}^j(\mathbf{r}_1, \mathbf{r}_2) &= \left(\frac{\sqrt{M\omega_{j,z}}}{\sqrt{\pi\hbar} l_j! 2^{l_j}} \right)^{1/2} \left[\frac{\Gamma(n_j + 1)}{\Gamma(n_j + |m_j| + 1)} \frac{1}{\pi} \right]^{1/2} \\ &\times \left(\frac{M\omega_j}{\hbar} \right)^{\frac{|m_j|+1}{2}} \\ &\times e^{im_j\phi_j} \left[\frac{(x_1 s_j x_2)^2}{2} + \frac{(y_1 s_j y_2)^2}{2} \right]^{\frac{|m_j|}{2}} \\ &\times \exp \left\{ -\frac{M\omega_j}{2\hbar} \left[\frac{(x_1 s_j x_2)^2}{2} + \frac{(y_1 s_j y_2)^2}{2} \right] \right. \\ &\left. - \frac{M\omega_{j,z}}{2\hbar} \left[\frac{(z_1 s_j z_2)^2}{2} \right] \right\} \end{aligned}$$

$$\begin{aligned} &\times L_{n_j}^{|m_j|} \left\{ \frac{M\omega_j}{\hbar} \left[\frac{(x_1 s_j x_2)^2}{2} + \frac{(y_1 s_j y_2)^2}{2} \right] \right\} \\ &\times H_{l_j} \left[\left(\frac{M\omega_{j,z}}{\hbar} \right)^{1/2} \frac{(z_1 s_j z_2)}{\sqrt{2}} \right], \end{aligned} \tag{32}$$

$$\begin{aligned} E_{n_j, m_j, l_j}^j &= \hbar\omega_j(2n_j + |m_j| + 1) \\ &- \frac{\hbar\omega_c}{2} m_j + \hbar\omega_{j,z} \left(l_j + \frac{1}{2} \right), \end{aligned} \tag{33}$$

onde $j = R, r$, $s_R = +$, $s_r = -$, e $\phi_j = \tan^{-1}((y_1 s_j y_2)/(x_1 s_j x_2))$.

Por fim, das Eqs. (1) e (32), temos que a entropia linear L para o estado fundamental, $n = m = l = 0$, pode ser escrita como:

$$\begin{aligned} L &= 1 - \left\{ 1 + \frac{1}{4\omega_R\omega_r} (\omega_r - \omega_R)^2 \right\}^{-1} \\ &\times \left\{ 1 + \frac{1}{4\omega_{R,z}\omega_{r,z}} (\omega_{r,z} - \omega_{R,z})^2 \right\}^{-\frac{1}{2}}. \end{aligned} \tag{34}$$

Observe que para $k = 0$, temos $L = 0$ (não há emaranhamento) já que $\omega_r = \omega_R$ e $\omega_{r,z} = \omega_{R,z}$.

3. Resultados e Discussão

Na Fig. 1 mostramos a variação de $L(k)$ dado pela Eq. (34) para alguns valores de B_0 . Para um dado valor de B_0 , $L(k)$ aumenta à medida que k aumenta, evidenciando o fato de que quanto maior for a interação, maior será o emaranhamento. Por outro lado, $L(k)$, para um dado valor de k , diminui ao aumentarmos o valor de B_0 , observação semelhante à encontrada para o átomo de Moshinsky [5]. Entenderemos melhor este comportamento a seguir.

Nas Figs. 2(a) e (b) mostramos o comportamento de $L(B_0)$ para alguns valores de k e V_0 , respectivamente. Em ambos os casos, $L(B_0)$ apresenta um comportamento assintótico que surge devido ao fato que $\omega_r \rightarrow 0$ no

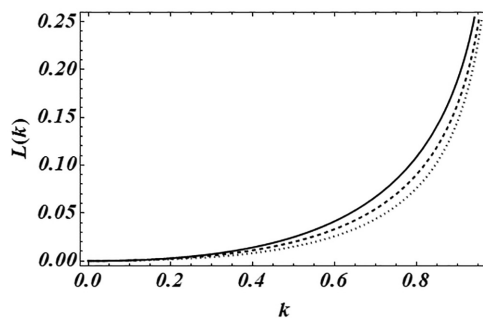


Figura 1: Comportamento de $L(k)$ para $B_0 = 4$ (linha sólida), $B_0 = 4.5$ (linha tracejada) e $B_0 = 15$ (linha pontilhada). Utilizamos um sistema de unidades no qual $q = d = M = \hbar = 1$ e $V_0 = 4$.

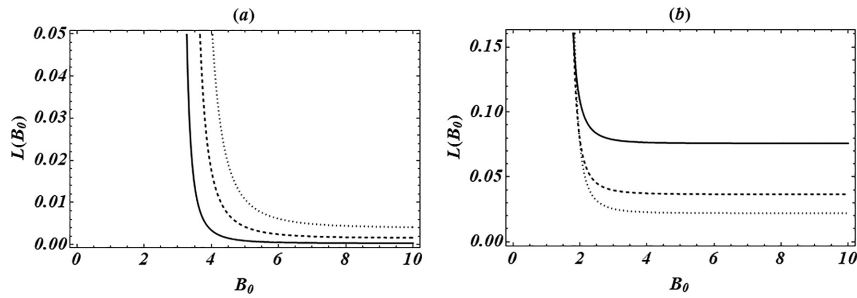


Figura 2: Comportamento de $L(B_0)$ para (a) $k = 0.2$ (linha sólida), $k = 0.4$ (linha tracejada) e $k = 0.6$ (linha pontilhada), com $V_0 = 4$, e para (b) $V_0 = 0.5$ (linha sólida), $V_0 = 0.6$ (linha tracejada) e $V_0 = 0.7$ (linha pontilhada), com $k = 0.2$. Nestas figuras utilizamos o sistema de unidades no qual $q = d = M = \hbar = 1$.

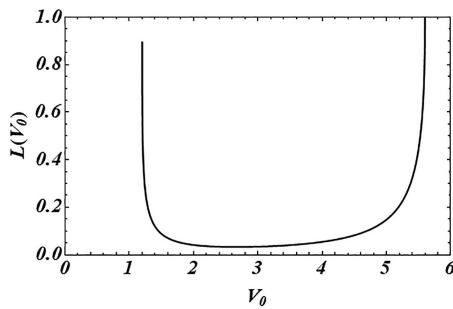


Figura 3: Comportamento de $L(V_0)$. Utilizamos os valores $q = d = M = \hbar = 1$, $k = 0.6$ e $B_0 = 4$.

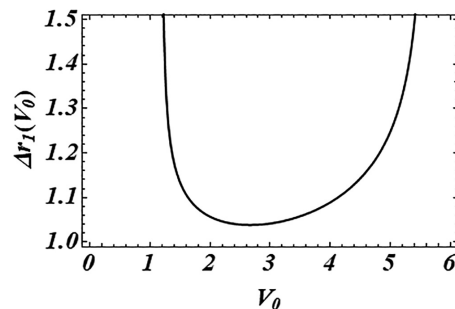


Figura 4: Comportamento de $\Delta r_1(V_0)$. Utilizamos os valores $q = d = M = \hbar = 1$, $k = 0.6$ e $B_0 = 4$.

limite em que $B_0 \rightarrow \frac{qV_0}{2Md^2} + \frac{2k}{M}$, onde o valor de $L(B_0)$ é máximo.

Considere a Fig. 2(a). Para $B_0 > \frac{qV_0}{2Md^2} + \frac{2k}{M}$, $L(B_0)$ diminui à medida que B_0 aumenta, tornando-se constante para valores de $B_0 > 5$. Esta saturação no valor de $L(B_0)$ ocorre devido ao fato que há uma competição entre o confinamento das partículas pelos campos magnético (B_0) e elétrico (V_0) da armadilha e o potencial de interação expresso através da constante de acoplamento (k). Para um certo par de valores de V_0 e k , observamos que mesmo aumentando o valor de B_0 ainda haverá um emaranhamento residual devido ao acoplamento entre as partículas. Note que para grandes valores de B_0 , a entropia linear depende apenas dos valores das frequências $\omega_{R,z}(V_0)$ e $\omega_{r,z}(V_0, k)$. Este emaranhamento residual aumenta ao aumentarmos k . Na Fig. 2(b) mostramos a variação de $L(B_0)$ para vários valores de V_0 mantendo o valor de k fixo. Observamos que ao aumentarmos V_0 , aumentamos o confinamento e diminuímos o emaranhamento.

Na Fig. 3 mostramos o comportamento de L em função do aumento de V_0 . Observe que $L(V_0) \sim 0.9$ quando $V_0 = 1.4$. Neste limite temos $\omega_{r,z} \rightarrow 0$. À medida em que V_0 aumenta, $L(V_0)$ diminui até o ponto $V_0 = V_{0c} = 2.5$. Para $V_0 > V_{0c}$, $L(V_0)$ aumenta assintoticamente até atingir seu valor máximo em $V_0 = 5.4$. Neste limite temos $\omega_r \rightarrow 0$. Mais uma vez este comportamento pode ser explicado pela competição entre o confinamento e o acoplamento das partículas.

Na Fig. 4 mostramos a incerteza na posição (Δr_1) para a partícula 1. Observamos que ao aumentarmos V_0 , Δr_1 diminui, o que significa que estamos confinando mais a partícula. Sendo o confinamento maior que o acoplamento, o emaranhamento diminui. A partir de $V_0 > V_{0c}$, Δr_1 aumenta, indicando que a partícula se torna menos confinada. Neste caso, o acoplamento se torna mais efetivo levando a um aumento do emaranhamento.

4. Conclusão

Estudamos o emaranhamento de duas partículas sem spin, carregadas e harmonicamente acopladas em uma armadilha de Penning através da entropia linear, L , dada pela Eq. (1). As funções de onda para este problema são expressas pela Eq. (32). Para o estado fundamental encontramos uma expressão analítica para L , dada pela Eq. (34), expressa em termos dos parâmetros B_0 e V_0 da armadilha de Penning e da constante de acoplamento k , como mostrado nas Eqs. (12)–(15).

Para um dado valor de B_0 e V_0 , $L(k)$ aumenta à medida que k aumenta, evidenciando o fato de que quanto maior for a interação, maior será o emaranhamento. Por outro lado, $L(B_0)$, para um dado valor de k e V_0 , diminui ao aumentarmos o valor de B_0 . O comportamento de $L(V_0)$, para k e B_0 fixos, é mostrado na Fig. 3, onde vemos que $L(V_0)$ diminui até o ponto $V_0 = V_{0c} = 2.5$ e depois aumenta assintoticamente até atingir seu valor máximo em $V_0 = 5.4$.

Esses resultados indicam que a medida de L corresponde ao resultado do balanço entre o acoplamento das partículas expresso pela constante k e o confinamento delas devido aos campos B_0 e V_0 . Quanto maior for o confinamento das partículas em relação ao acoplamento, mais localizadas elas estarão, e dessa forma menor será o emaranhamento expresso por L . Quando o acoplamento é maior do que o confinamento, significa que as partículas estão menos localizadas e, por conseguinte, a superposição das funções de onda aumenta, aumentando L . Essa análise é corroborada pela Fig. 4, onde mostramos a variação da incerteza na posição da partícula 1 para os mesmos parâmetros utilizados na Fig. 3. Em suma, L mede o grau de superposição das funções de onda das partículas em termos da variação dos parâmetros k , B_0 e V_0 .

Vale ressaltar que, apesar de termos considerado uma interação entre as partículas que não é realista (por simplicidade, tomamos uma interação harmônica ao invés de coulombiana), observamos que estudar tal sistema é útil, já que trabalhos presentes na literatura mostram que o emaranhamento desse sistema exibe características que independem dos detalhes da interação. Como pudemos observar, fixando a (o) interação (potencial de confinamento), temos que o emaranhamento tende a diminuir (aumentar) quando a intensidade do (da) potencial de confinamento (interação) aumenta.

Agradecimentos

Os autores agradecem ao CNPQ pelo auxílio financeiro.

Referências

- [1] D.N. Pham, S. Bharadwaj e L.R. Ram-Mohan, Phys. Rev. B **101**, 045306 (2020).
- [2] M. Moshinsky, Am. J. Phys. **36**, 52 (1968); Erratum: M. Moshinsky, Am. J. Phys. **36**, 763 (1968).
- [3] J. Pipek e I. Nagy, Phys. Rev. A **79**, 052501 (2009).
- [4] R.J. Yañez, A.R. Plastino e J.S. Dehesa, Eur. Phys. J. D **56**, 141 (2010).
- [5] P.A. Bouvrie, A.P. Majtey, A.R. Plastino, P. Sanchez-Moreno e J.S. Dehesa Eur. Phys. J. D **66**, 15 (2012).
- [6] P.A. Bouvrie, Ana P. Majtey, M.C. Tichy, J.S. Dehesa e A.R. Plastino, Eur. Phys. J. D **68**, 346 (2014).
- [7] I.P. Christov, Phys. Scr. **94**, 045401 (2019).
- [8] Y.C. Lin, T.K. Fang e Y. Kam Ho, Phys. Plasmas **22**, 032113 (2015).
- [9] A. Kuroś e A. Okopińska, Few-Body Syst. **56**, 853 (2015).
- [10] S. López-Rosa, R.O. Esquivel, A.R. Plastino e J.S. Dehesa, J. Phys. B: At. Mol. Opt. Phys. **48**, 175002 (2015).
- [11] C.H. Lin, Y.C. Lin e Y. Kam Ho, Few-Body Syst **54**, 2147 (2013).
- [12] T.S. Hofer, Front. Chem.: Theor. Comput. Chem. **1**, 24 (2013).
- [13] C.H. Lin e Y. Kam Ho, Atoms, **3**, 422 (2015).
- [14] A. Valdes-Hernandez, C.G. Maglione, A.P. Majtey e A.R. Plastino, Ensino Fis. **42**, e20190313 (2020).
- [15] D.V. Schroeder, Am. J. Phys. **85**, 812 (2017).
- [16] A. Gomez-Rodriguez e J.L. Aragon, Rev. Mex. de Fisica E **58**, 61 (2012).
- [17] F.M. Penning, Physica (Amsterdam) **3**, 873 (1936).
- [18] L.S. Brown e G. Gabrielse, Rev. Mod. Phys. **58**, 233 (1986).
- [19] R. Paškauskas e L. You, Phys. Rev. A **64**, 042310 (2001).